



[12] 发明专利说明书

[21] ZL 专利号 92103969.7

[45]授权公告日 1995年8月9日

[51] Int.Cl⁶

G01R 15 / 18

[24] 颁证日 95.3.24

[21] 申请号 92103969.7

[22] 申请日 92.5.21

[73] 专利权人 华中理工大学

地址 430074湖北省武汉市武昌珞喻路151

[72] 发明人 任士焱

号

[74] 专利代理机构 华中理工大学专利事务所

代理人 骆如碧

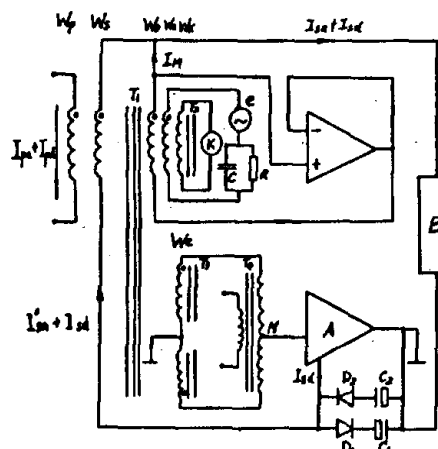
G01R 19 / 00

说明书页数: 附图页数:

[54]发明名称 一种交直流电流比较仪

[57]摘要

本发明属电流测试装置，它是一种比较仪，由测量头和电子放大器两部分组成，测量头为环形开口状，由上下两半环构成，在直径方向设哈夫面A和B。电子放大器中的二次交流电流的互感直接耦合电路由二次绕组，负载电阻，电解电容和二极管构成。本装既可测直流电流和交流电流，也可同时测交直流电流，现场测试装拆极为方便，避免被测母线的停电、装拆和被检互感器装拆。



权利要求书

1. 一种交直流电流比较仪，由测量头和电子放大器两部分构成，其特征为所述测量头为环形开口状，由上、下两半环构成，在直径方向设哈夫面A和B，测量头由以下几部分构成：

a) 交流主铁芯 T_2 由硅钢片卷绕成环状铁芯后，在外面绕上交流检测绕组 W_D ，再在该绕组外面绕监视绕组 W_K ，在监视绕组 W_K 外面绕交流调零绕组 W_s ；

b) 两个直流主铁芯 T_3 由硅钢片卷成环状铁芯后，分别在外面绕上激磁绕组 W_i ；

c) 将a)、b)所述绕组拼装，在它们外面绕上静电屏蔽层E并将它置于由硅钢片卷绕而成的磁屏蔽铁芯 T_1 中，在 T_1 外面绕上交直流二次绕组 W_u ，最外面套上静电屏蔽层F；

d) 上述结构经环氧树脂浇铸后，在直径方向开哈夫面A和B，

所述电子放大器中的二次交流电流 I_{su} 的互感直接耦合电路由二次绕组 W_u ，负载电阻B、电解电容 C_1 、 C_2 、二极管 D_1 、 D_2 构成，其中 D_1 的阳极与 D_2 的阴极相连，接到 W_u 的非同名端和直流功率放大器A的输出端， D_1 的阴极与 C_1 的正极相连， D_2 的阳极与 C_2 的负极相连， C_1 的负极与 C_2 的正极相连后与负载B和放大器A的接地点连接，负载B的另一端接到 W_u 的同名端。

本发明属电流测试装置，特别适合于交直流混合使用场合。

“电子工程师学会学报，电子与动力”(Electronics and Power The Journal of the Institution of Electrical Engineers Vol. 32 No. 1 January 1977.)载文“用互感器精确测量直流和交流电流”(Accurate Measurement of d.c. and a.c. by Transformer)的装置和电路。这种比较仪虽然很吸引人，但至少存在如下两个缺点：(一)该比较仪的测量头是一种闭环式结构，被测线必须从闭环中心穿过，这对工业现场测试是非常不方便的。测量头所使用的材料为高导磁率薄膜合金，价格昂贵。对电磁、机械冲击的承受能力差。(二)电子放大器电路存在明显的缺点是：对于大的过电流，这种功率放大器不

可能送出相应的补偿电流，在这种情况下，由于铁芯饱和，磁势平衡受到破坏，否则，要求功率放大器做得很大，这是不经济的。

根据上述现有技术存在的缺点，本发明提供一种开口式的交/直流电流比较仪。

为完成上述目的，本发明采取以下技术措施，图1为开口式交/直流电流比较仪测量头外形图，图2为测量头哈夫面A剖视图，图3为本发明比较仪电路图。这种交直流电流比较仪由测量头和电子放大器两部分构成，所述测量头为环形开口状，由上、下两半环构成，在直径方向设哈夫面A和B。测量头中的交流主铁芯 T_2 由硅钢片卷绕成环状铁芯后，在外面绕上交流检测绕组 W_D ，再在该绕组外面绕上监视绕组 W_K ，在 W_K 外面绕交流调零绕组 W_s 。两个直流主铁芯 T_3 由硅钢片卷成环状铁芯后，分别在外面绕上激磁绕组 W_i 。然后，将上述交流、直流绕组铁芯拼装，在它们外面绕上静电屏蔽E，并将它置于由硅钢片卷绕而成的磁屏蔽铁芯 T_1 中，在 T_1 外面绕上交直流二次绕组 W_u ，最外面套上静电屏蔽F。上述结构经环氧树脂浇铸后，在直径方向开哈夫面A和B。所述电子放大器中的二次交流电流 I_{su} 的互感直接耦合电路为，二次绕组 W_u 中的绝大部分(99%左右)交流电流($I_{su}-I_M$)由互感直接耦合电路产生，该互感耦合电路由二次绕组 W_u 、负载电阻B、电解电容 C_1 、 C_2 、二极管 D_1 、 D_2 构成，其中 D_1 的阳极与 D_2 的阴极相连，接到 W_u 的非同名端和直流功率放大器A的输出端， D_1 的阴极与 C_1 的正极相连， D_2 的阳极与 C_2 的负极相连， C_1 的负极与 C_2 的正极相连后与负载B和放大器A的接地点连接，负载B的另一端接到 W_u 的同名端。图3给出了开口式交直流电流比较仪的电气原理图，当被测一次绕组 W_p 中通过交流和直流电流 $I_{pa}+I_{pd}$ 时，对交流分量 I_{pa} ，基于交流磁势平衡原理，二次绕组 W_u 中会感应出二次交流电流 I'_{su} ，由于这种二次电流 I'_{su} 中存在着一定数量的磁化电流误差，即在主铁芯 T_2 中作用有一定数量的交流安匝差 $I_{pa}W_p-I_{su}W_u$ ，该安匝差将在交流检测绕组 W_D 中感应信号， W_D 取得的信号通过电子放大器放大、反馈，得到补偿二次交流电流的磁化电流 I_M ，使得在主铁芯 T_2 中的安匝差 $I_{pa}W_p-I_{su}W_u$ 接近于零，从而得到二次电流与一次电流之间的高精度匝

比关系， $I_{pd} = \frac{W_s}{W_p} I_{sa}$ ，外接负载 B 中流过准确度很高的二次交流电流 I_{sa} ，通过 I_{sa} 即可确定 I_{pd} 。为了保证该系统高精度、高可靠地工作，设置了交流调零绕组 W_s 和交流监视绕组 W_k 。 W_s 与秘电势源 e 和电阻 R、电容 C 的并联支路相串联，合理选择 R、C 的值，可以得到最佳交流调零效果，从而有效抑制由于直流系统纹波对交流系统零点的影响。交流监视绕组 W_k 与监视装置 K 相连一旦电子部分或其他部分发生故障，其二次电流的准确度就发生变化，主铁芯 T_2 中和交流磁势就不可能趋近于零，此时监视绕组则有一个比较大的信号输出，从而构成这种开口式交流电流比较仪的自诊断功能。由图 3 可知，对于一次绕组 W_p 中的直流分量 I_{pd} ，采用磁调制原理进行测试。均匀绕制在一对直流主铁芯 T_3 上的一对激励绕组 W_i 对接后接入交流工频变压器 T_4 ，经过配对的一对 T_3 将受到工频交流磁场的作用。当一次绕组中存在被测直流分量 I_{pd} 时，在直流主铁芯 T_3 中将作用有对应的直流磁场，该直流磁场将受到交流磁场的调制。由激磁变压器的中心抽头 M 将输出以二次谐波为主的交流信号，该信号的幅值与相位对应被测直流 I_{pd} 的大小和方向，经过电子部件组成的滤波、解调、放大环节 A，给二次绕组 W_s 提供反馈直流电流 I_{sd} ，由于系统开环增益很高，当闭环系统平衡时，使得直流一次与二次之间的安匝差趋近于零，即 $I_{pd} W_p - I_{sd} W_s = 0$ ，得 $I_{pd} = \frac{W_s}{W_p} I_{sd}$ ，从而在负载 B 中亦可得到匝比准确度很高的二次直流电流 I_{sd} 。

图 1 开口式交流电流比较仪测量头外形图。

图 2 测量头哈夫面 A 剖视图。

图 3 开口式交直流电流比较仪电路图。

本发明具有以下多方面优点：（一）测量头铁芯均用低成本的普通硅钢片材料代替成本高过 10 倍以上的薄膜合金高导磁材料，不仅整机成本低，制造方便，并能承受强烈的机械、电磁冲击，便于工业上推广使用。（二）测量头为上、下两半环组成的开口式结构，现场测试装拆极为方便，避免被测母线的停电、装拆和被检互感器的装拆。（三）本发明突破了交流二次电流靠放大器提供，从而带来要求功率放大器功率足够大、可靠性差、成本高等一系列问题。（四）本装置既可测量直流电流，也

可测量交流电流，还可同时测量交直流电流。

（五）该比较仪设置有运行状态自诊断功能。

经测试，开口式交/直流比较仪如交、直流额定电流为 4000A，在交流、直流以不同组合的安匝数同时输入一次绕组 W_p 中，测其交流误差在 1% 的额定电流（40A）到 100% 额定电流（4000A）宽范围内，其相对误差（包括同相分量和正交分量）均不超过 0.005%（即 50PPm），试验数据如表 1 所示为交流误差数据表，单位 ppm。（表 1 见文后）

表 1

交 流 误 差 直 流	交流电流					
	40 安匝	400 安匝	1000 安匝	2000 安匝	3000 安匝	4000 安匝
安匝	同相 正交					
0	+18 +13	+16 +15	+13 +8	+7 +8	+6 +4	+5 +3
40	+18 +13	+16 +15	+13 +8	+7 +8	+6 +4	+5 +3
400	+20 +14	+15 +16	+13 +8	+7 +8	+5 +4	+5 +3
1000	+20 +13	+14 +17	+13 +8	+6 +9	+5 +4	—
2000	+12 +20	+12 +20	+12 +9	+5 +10	+4 +5	—
3000	+14 +20	+11 +20	+11 +9	+5 +11	—	—
4000	+14 +20	+11 +21	—	—	—	—

说 明 书 附 图

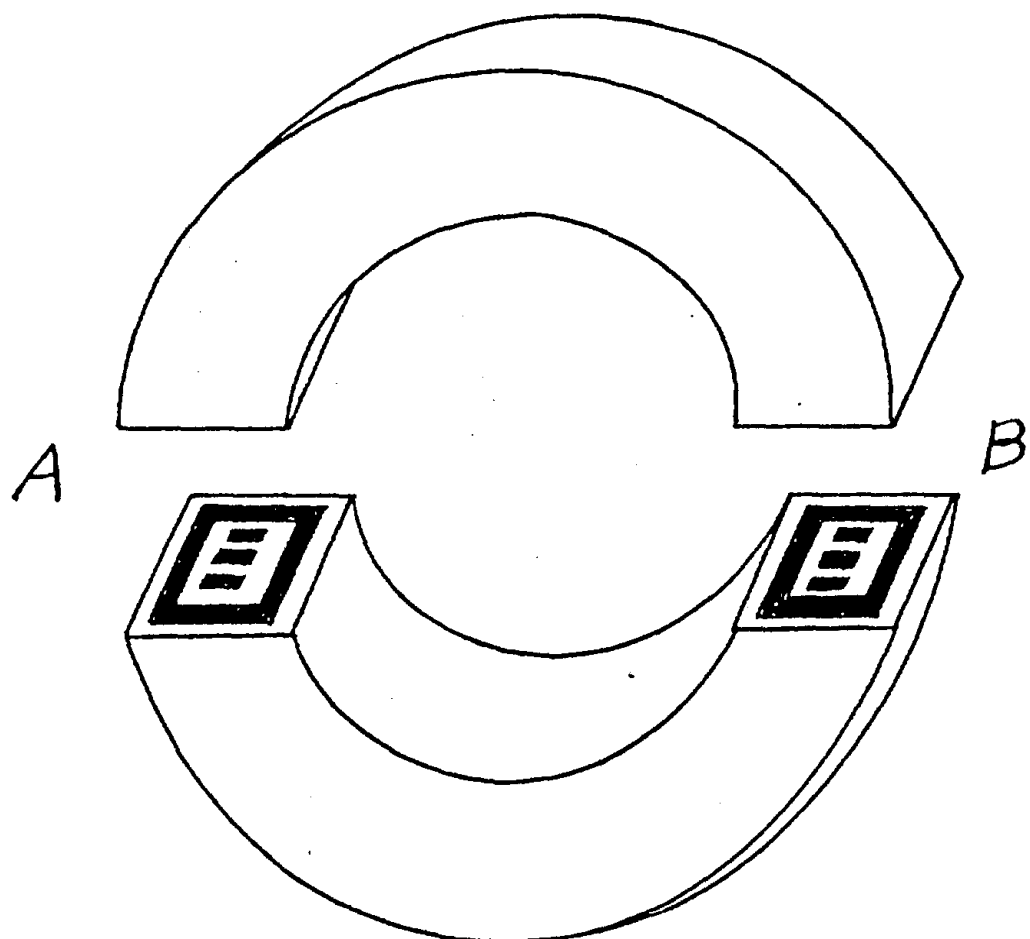


图 1

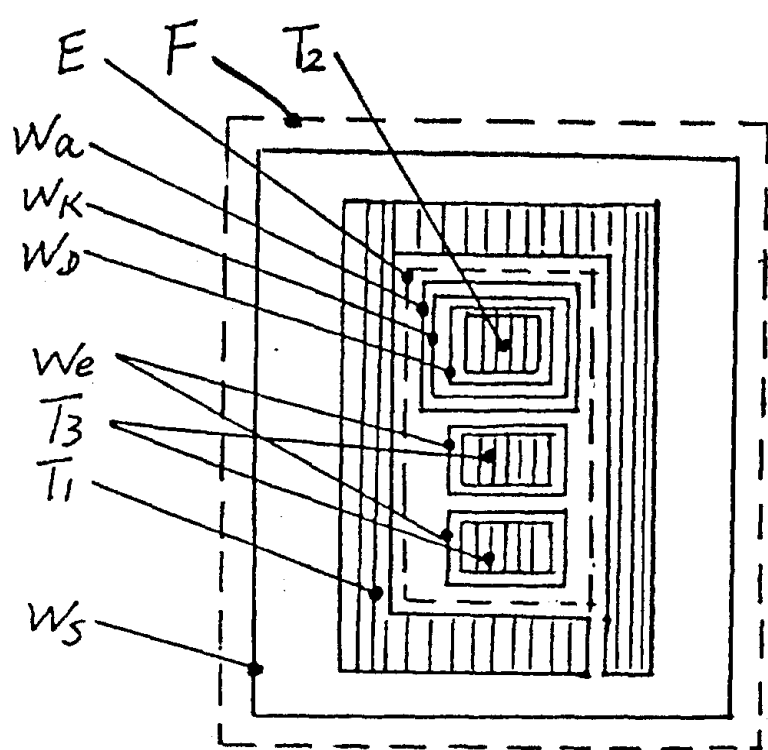


图 2

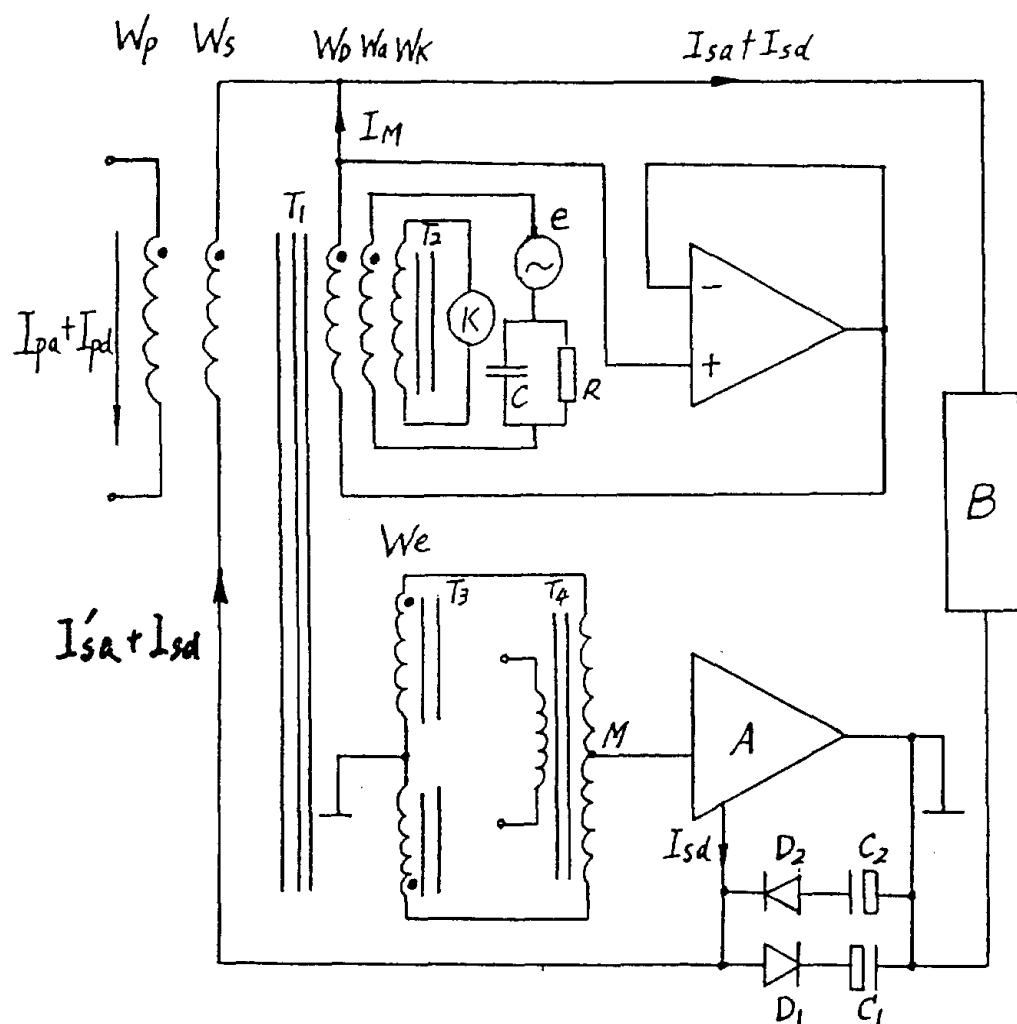


图 3